

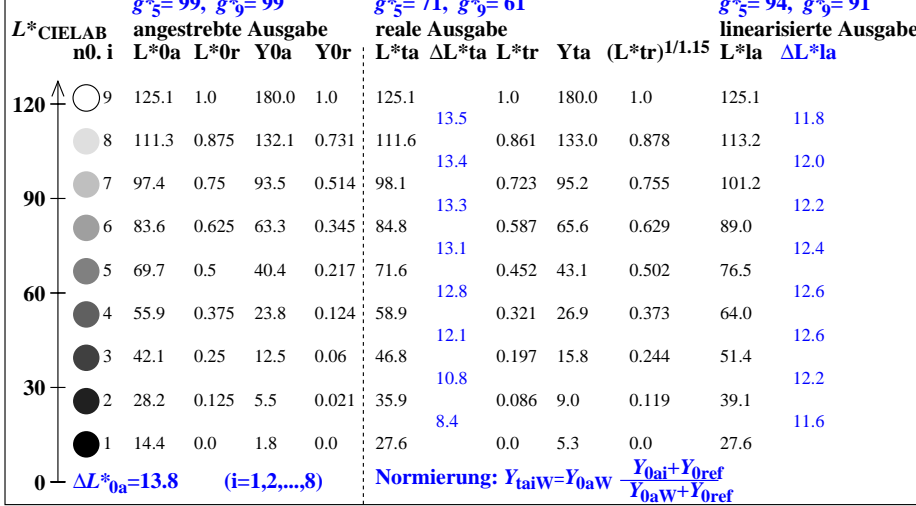
9stufige Grauskalierung zwischen $L^*_{0aN}=14.4$ und $L^*_{0aW}=125.1$, $Y_{0ref}=3.6$, Normierung Weiß W

$L^*_{0aN}=14.4$, $L^*_{0aU}=69.7$, $L^*_{0aW}=125.1$, $Y_{0aN}=1.8$, $Y_{0aU}=40.4$, $Y_{0aW}=180.0$, $C_{0aY}=Y_{0aW}:Y_{0aN}=99.9$

$L^*_{taN}=27.6$, $L^*_{taU}=71.6$, $L^*_{taW}=125.1$, $Y_{taN}=5.3$, $Y_{taU}=43.1$, $Y_{taW}=180.0$, $C_{taY}=Y_{taW}:Y_{taN}=34.0$

Regularitätsindex nach ISO/IEC 15775:2022, Anhang G für 5 und 9 Stufen

$g^* = 100 [\Delta L^*_{min}] / [\Delta L^*_{max}]$, $L^*_{CIELAB} = 116 [Y/Y_n]^{1/3} - 16$ mit $Y >= 0,882$, $Y_n=100$



egk60-3n

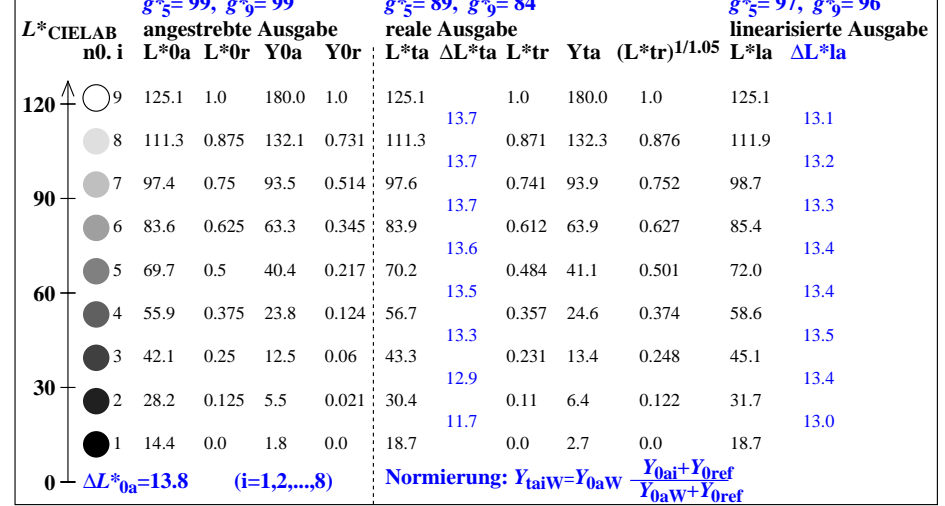
9stufige Grauskalierung zwischen $L^*_{0aN}=14.4$ und $L^*_{0aW}=125.1$, $Y_{0ref}=0.9$, Normierung Weiß W

$L^*_{0aN}=14.4$, $L^*_{0aU}=69.7$, $L^*_{0aW}=125.1$, $Y_{0aN}=1.8$, $Y_{0aU}=40.4$, $Y_{0aW}=180.0$, $C_{0aY}=Y_{0aW}:Y_{0aN}=99.9$

$L^*_{taN}=18.7$, $L^*_{taU}=70.2$, $L^*_{taW}=125.1$, $Y_{taN}=2.7$, $Y_{taU}=41.1$, $Y_{taW}=180.0$, $C_{taY}=Y_{taW}:Y_{taN}=67.0$

Regularitätsindex nach ISO/IEC 15775:2022, Anhang G für 5 und 9 Stufen

$g^* = 100 [\Delta L^*_{min}] / [\Delta L^*_{max}]$, $L^*_{CIELAB} = 116 [Y/Y_n]^{1/3} - 16$ mit $Y >= 0,882$, $Y_n=100$



egk61-3n

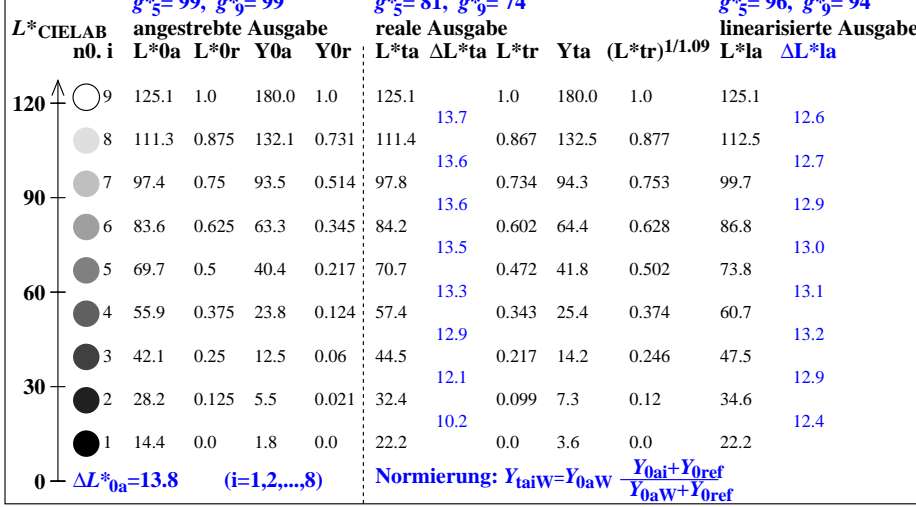
9stufige Grauskalierung zwischen $L^*_{0aN}=14.4$ und $L^*_{0aW}=125.1$, $Y_{0ref}=1.8$, Normierung Weiß W

$L^*_{0aN}=14.4$, $L^*_{0aU}=69.7$, $L^*_{0aW}=125.1$, $Y_{0aN}=1.8$, $Y_{0aU}=40.4$, $Y_{0aW}=180.0$, $C_{0aY}=Y_{0aW}:Y_{0aN}=99.9$

$L^*_{taN}=22.2$, $L^*_{taU}=70.7$, $L^*_{taW}=125.1$, $Y_{taN}=3.6$, $Y_{taU}=41.8$, $Y_{taW}=180.0$, $C_{taY}=Y_{taW}:Y_{taN}=50.5$

Regularitätsindex nach ISO/IEC 15775:2022, Anhang G für 5 und 9 Stufen

$g^* = 100 [\Delta L^*_{min}] / [\Delta L^*_{max}]$, $L^*_{CIELAB} = 116 [Y/Y_n]^{1/3} - 16$ mit $Y >= 0,882$, $Y_n=100$



egk60-7n

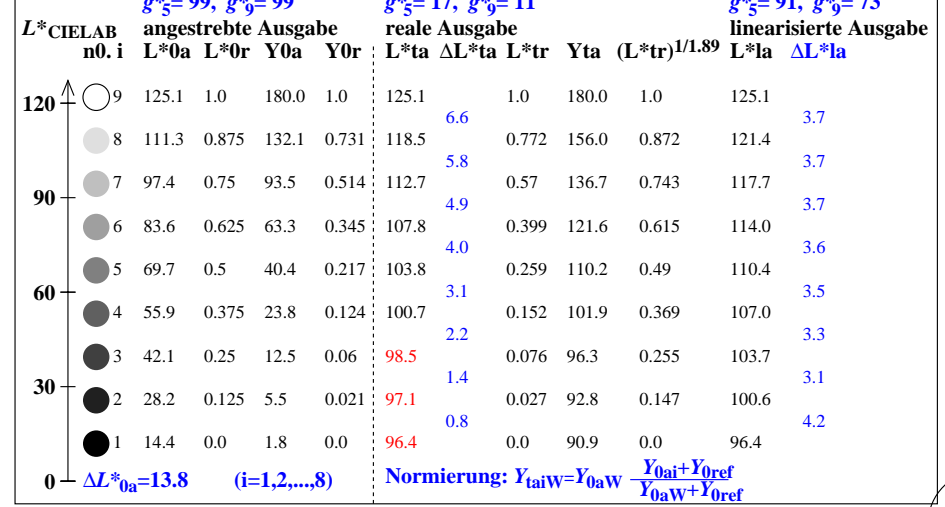
9stufige Grauskalierung zwischen $L^*_{0aN}=14.4$ und $L^*_{0aW}=125.1$, $Y_{0ref}=180.0$, Normierung Weiß W

$L^*_{0aN}=14.4$, $L^*_{0aU}=69.7$, $L^*_{0aW}=125.1$, $Y_{0aN}=1.8$, $Y_{0aU}=40.4$, $Y_{0aW}=180.0$, $C_{0aY}=Y_{0aW}:Y_{0aN}=99.9$

$L^*_{taN}=96.4$, $L^*_{taU}=103.8$, $L^*_{taW}=125.1$, $Y_{taN}=90.9$, $Y_{taU}=110.2$, $Y_{taW}=180.0$, $C_{taY}=Y_{taW}:Y_{taN}=2.0$

Regularitätsindex nach ISO/IEC 15775:2022, Anhang G für 5 und 9 Stufen

$g^* = 100 [\Delta L^*_{min}] / [\Delta L^*_{max}]$, $L^*_{CIELAB} = 116 [Y/Y_n]^{1/3} - 16$ mit $Y >= 0,882$, $Y_n=100$



egk61-7n

Siehe ähnliche Dateien der ganzen Serie: <http://farbe.li.tu-berlin.de/egks.htm>
Technische Information: <http://farbe.li.tu-berlin.de> oder <http://color.li.tu-berlin.de>

TUB-Registrierung: 20230701-egk6/egk610na.txt /ps
Anwendung für Beurteilung und Messung von Display- oder Druck-Ausgabe
TUB-Material: Code=rh4ta